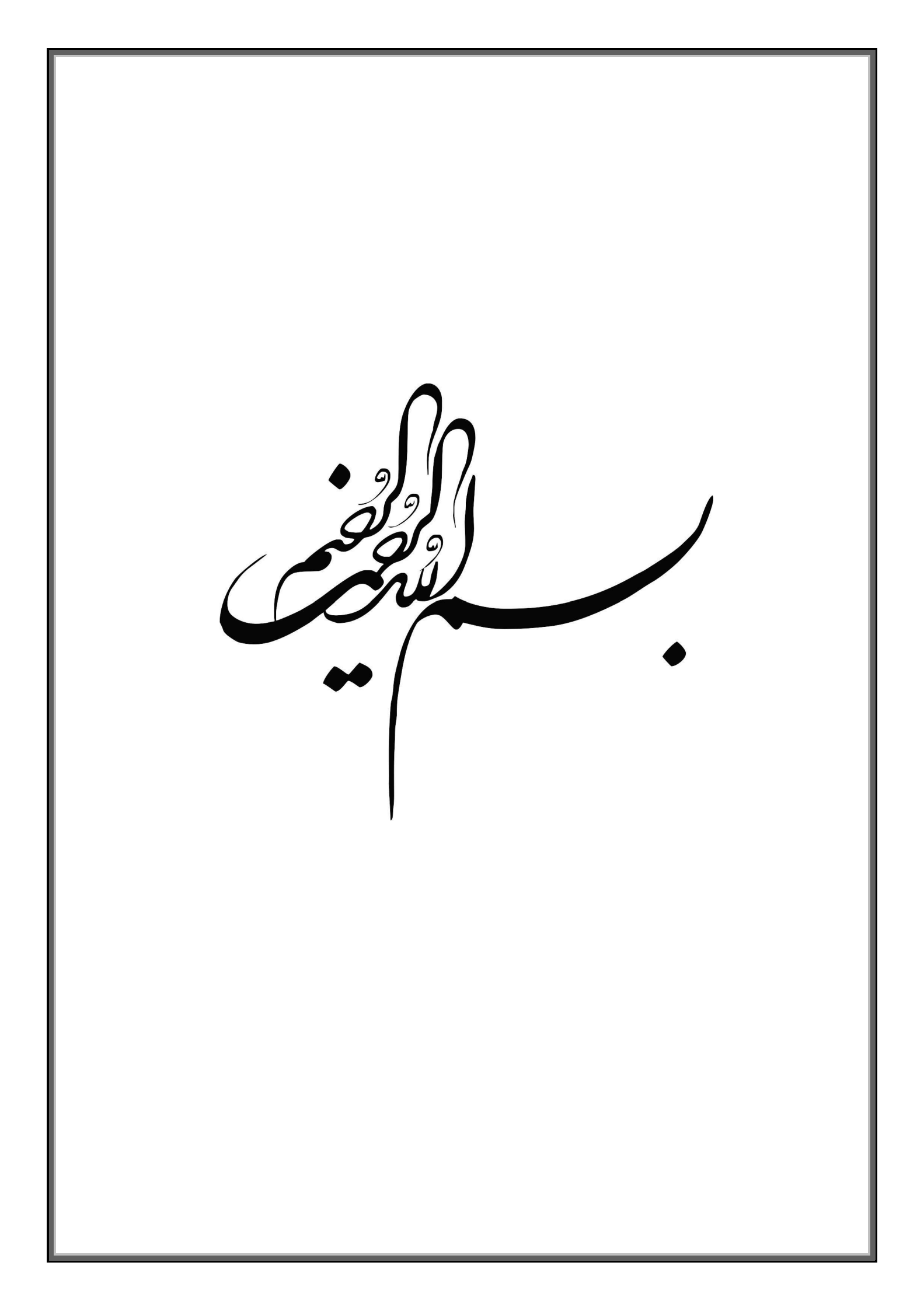


# تحلیل عامل تفکیکی با استفاده از بهینهسازی آشوبناک جمعیت ذرات

پایاننامهٔ کارشناسی ارشد سمیرا بیرامی سلطان

استاد راهنما: دكتر حميد عبداللهي

شهریور ۱۳۸۸



خیال روی تو در هر طریق همره ماست نسیم موی تو پیوند جان آگه ماست

حوست حارم تلاش مایم را در قالب مدیهای مر چند کوچك تقدیم کنم به:

نگاه نگران مادرم روح پاک پدرم عزم راسخ استاد گرانقدرم، جناب آقای دکتر عبداللهی

## تشكر و قدرداني

الهي!

ای نزدیکتر از ما به ما، مهربانتر ازما به ما، نوازنده ی ما بی ما، به کرم خویش نه به سزای ما، هرچه کردیم تاوان بر ما، هرچه تو کردی باقی بر ما، هرچه کردی به جای ما، به خود کردی نه به سزای ما.

آغاز میکنم کلامم را با نام مهربانی که هر آنچه دارم از لطف و رحمت اوست.

در ابتدا از استاد ارجمند و معلم بزرگوارم جناب آقای دکتر حمید عبداللهی که در طی مراحل تحقیق و تدوین پایاننامه همواره همراه و راهنمای من بودند نهایت سپاس و قدردانی را دارم و برای ایشان از خداوند منان توفیق روز افزون و سعادت آروزمندم.

از اساتید گرانقدرم که در محضرشان کسب درس علم و زندگی کردم، آقایان دکتر حقیقی، دکتر کمپانی و دکتر رفیعی ممنون و سپاسگزارم. توفیق و سعادتمندی برای ایشان و تمام معلمانم در همه ی مقاطع تحصیلی ام آرزومندم.

از خانم دکتر زینلی و سایر اساتید مدعو که زحمت داوری پایاننامه مرا پذیرفتند سپاس بیپایان دارم. از استاد محترم خانم دکتر نظری به خاطر همهی الطافشان صمیمانه متشکرم.

از همه ی دوستان و همکلاسی های خوبم که روزهای خوب تحصیل و کار را در کنار هم سپری کردیم و شادی آفرین لحظات تحصیلم بودند کمال تشکر را دارم و امیدوارم همواره مورد الطاف بی پایان حق باشند.

در نهایت از اولین معلمان زندگیم، مادرم که وجودم از وجود او آرام میگیرد و پدرم که ریشه ی درخت زندگیم بود سپاس بی پایان دارم و از خواهران و برداران عزیزم که همواره همراه و پشتیبان من در زندگی بودند و به من دلگرمی می دادند، صمیمانه تشکر می کنم و امیدوارم همواره شاد و خرم باشند.

امیدوارم یادگار دوران تحصیلم آغازی باشد برای دیگر راههای علمی.

روش تحلیل عامل تفکیکی یکی از روشهای مدلسازی نرم است که به جستجوی ماتریس  $\mathbf{T}$  بهینه ای میپردازد که توسط روابط زیر پروفایلهای غلظتی و طیفی را ایجاد کنند،

A=UST<sup>-1</sup> B=TV

طوریکه این پروفایلها در معادله روبرو صدق کنند.

#### D=AB

در روش RFA، بردارهای ویژه چرخیده شده بهطور تکرار پذیر اصلاح می شوند تا از قیدها تبعیت کننـد و در نهایت تابع حداقل مربعات را در فرآیند بهینه سازی غیر خطی مینیمم کننـد؛ الگـوریتم نیـوتن – گـوس – لونبرگ/مارکوات وظیفه بهینه سازی غیرخطی در این روش را برعهده دارد.

الگوریتم بهینه سازی آشوبناک جمعیت ذرات، تلفیقی از دو الگوریتم تکراری روش بهینه سازی جمعیت ذرات (PSO) و الگوریتم جستجوی محلی آشوبناک با ویژگیهای آشوبناک است.

در این تحقیق، روش RFA و CPSO برای نخستین بار تلفیق و حاصل آنها به عنوان روشی متفاوت با روشهای موجود در متون کمومتریکس ارائه شده است. این روش به عنوان جایگزینی مناسب برای روش RFA در تفکیک دادههایی که حل منحصر به فرد ندارند، پیشنهاد می شود. چرا که روش RFA در ایس موارد واگرا می شود در حالیکه روش پیشنهاد شده به دلیل مزایای CPSO قادر به حل ایس مسئله است. جهت بررسی این موضوع داده های کروماتوگرافی با همپوشانی و سطح نویزهای متفاوت تولید و توسط روش موردنظر تحلیل شدند.

کارآیی روش توسط تحلیل داده های سه و چهار جزئی شبیه سازی شده و آزمایشگاهی بررسی شد. نتایج، توانایی این روش را در تحلیل داده های مختلف نشان می دهد. همچنین این روش بر خلاف سایر روش های مدلسازی نرم حتی با تخمین اولیه تصادفی نیز همگرا می شود و توانایی تحلیل داده های با کمتر از پنج جزء را دارا می باشد.

# فهرست

ره صفحه	فهرست مطالب شما
١	فصل اول
	مقدمه
١	١.١ كمومتريكس
	۱. ۲ روشهای تفکیک منحنی چند متغیره
٣	۱. ۲. ۱ روشهای غیرتکراری
٣	۱. ۲. ۲ روشهای تکراری
٤	<ul> <li>۱. ۲. ۲ روشهای تکراری</li> <li>۱. ۳ ابهامها</li> <li>۱. ۳. ۱ ابهام چرخشی</li> </ul>
٥	١.٣.١ ابهام چرخشي
٥	۱. ۳. ۲ ابهام شدتی
٥	۱. ٤ قيدها
V	<ul> <li>١. ٣. ٢ ابهام شدتى</li> <li>١. ٤ قيدها</li> <li>١. ٥ تحليل عاملى</li> <li>١. ٥ تجزيه مقادير منفرد (SVD)</li> </ul>
۸	۱. ۵. ۱ تجزیه مقادیر منفرد (SVD)
۹	۱. ۵. ۲ تحلیل عامل تکاملی (EFA)
	۱. ۵. ۳ تفکیک منحنی چند متغیره ـ حداقل مربعات متناوب (MCR-ALS)
	۱. ٥. ٤ تحليل عامل تفكيكي (RFA)
	١. ٥. ٤. ١ الگوريتم نيوتن – گوس (براي برازش پارامترهاي غيرخطي)
	۱. T بهینهسازی جمعیت ذرات (PSO)
۲۱	۱. ۲. ۱ وزن اینرسی (w) و عامل وزن اینرسی توافقی (AIWF)
	١. ٧ تئوري آشوب
۲٤	۱. ۷. اجستجوی محلی آشوبناک (CLS)
۲٥	۱. ۸ بهینهسازی آشوبناک جمعیت ذرات (CPSO)
۲٧	فصل دوم
	مروری بر تحقیقات گذشته
	۰ . ۲ مطالعاتي پيرامون بهبود الگوريتم بهينهسازی جمعيت ذرات (PSO)
	۲. ۲ تاریخچهای از ورود الگوریتم بهینهسازی (PSO) به متون شیمی تجزیه
	۲. ۳ تاریخچهای از روش تحلیل عامل تفکیکی
	فصل سوم
	عبى عبوم بحث و نتايج
1 1	ىحت و نتايج

٣١	٣. ١ مقدمه
٣٢	۳. ۱. ۱ روش گرافیکی تعیین محدودههای چرخشی با استفاده از RFA
٣٤	
٣٤	۳. ۲. ۱ بررسی عملکرد RFA در سیستمهای دارای ابهام چرخشی
٤٦	۳. ۲. ۲ بررسی عملکرد RFA در سیستمهای دارای حل منحصر به فرد
٥٤	
٥٣	٣. ٢. ٤ دليل ناتواني الگوريتم نيوتن– گوس– لونبرگ/ ماركوات
٥٧	۳. ۳ راه حل پیشنهادی برای مسئلهی واگرایی در روش RFA
٥٨	۳. ۳. ا اصلاحاتی در الگوریتم CPSO
	۳. ٤. اجرای روش RFA با استفاده از CPSO برای دادههای دارای ابهام چرخشی
	۳. ۵ تفکیک دادههای مشابهسازی شده
٦٦	٣. ٥. ١ تفكيك دادهى كروماتوگرافى سه جزئى
	۳. ۵. ۱. ۱ تفکیک دادهی کروماتوگرافی سه جزئی دارای نویز با انحراف استانداردهای متفاوت توسط
	استفاده از CPSO
بط روش RFA	۳. ۵. ۱. ۲ نتایج تفکیک سیستم کروماتوگرافی سه جزئی دارای نویز با انحراف استاندارد ۰/۰۰۰۱ توس
٦٩	
روش RFA با	۳. ۵. ۱. ۳ تفکیک سیستم کروماتوگرافی سه جزئی دارای نویز با انحراف استاندارد ۰/۰۰۰۵ توسط
٧١	
٧٣	۳. ۵. ۱. ۶ تفکیک دادهی کروماتوگرافی سه جزئی دارای نویز با انحراف استاندارد ۰/۰۰۱
روش RFA با	۳. ۵. ۱. ۵ تفکیک دادهی کروماتوگرافی سه جزئی دارای نویز با انحراف استاندارد ۰/۰۰۵ توسط
٧٦	استفاده از CPSO
RFA با استفاده	۳. ۵. ۱. 7 تفکیک داده ی کروماتوگرافی سه جزئی دارای نویز با انحراف استاندارد ۰/۰۱ توسط روش
٧٨	از CPSO
RFA با استفاده	۳. ۵. ۱. ۷ تفکیک داده ی کروماتوگرافی سه جزئی دارای نویز با انحراف استاندارد ۰/۰۵ توسط روش
۸٠	از CPSO
۸۲	۳. ۵. ۲ تفکیک دادهی سه جزئی واکنش سینتیکی متوالی، $A  ightarrow B  ightarrow C$
Λ٤	۳. ۵. ۲. ۱ تفکیک داده ی سه جزئی واکنش سینتیکی متوالی توسط روش RFA با استفاده از CPSO
Λ٤	۳. ۵. ۲. ۲ تفکیک دادهی سه جزئی واکنش سینتیکی متوالی توسط روش MCR-ALS
راف استاندارد	۳. ۵. ۳ تفکیک دادهی سر هم زدهی کروماتوگرافی سه جزئی فرضی، حاوی نویزی با انح
۸٧	
ستاندارد ۰/۰۰۱	۳. ۵. ۳. ۱ تفکیک دادهی سر هم زدهی کروماتوگرافی سه جزئی فرضی، حاوی نویزی با انحراف اس
۸۹	توسط روش RFA با استفاده از CPSO
ستاندارد ۰/۰۰۱	۳. ۵. ۳. ۲ تفکیک دادهی سر هم زدهی کروماتوگرافی سه جزئی فرضی، حاوی نویزی با انحراف اس
۸۹	توسط روش MCR-ALS

۳. ۵. ٤ تفکیک دادهی کروماتوگرافی چهار جزئی فرضی
۳. ۵. ٤. ۱ تفکیک دادهی کروماتوگرافی چهارجزئی فرضی توسط روش RFA با استفاده از CPSO ۹٤
۳. ۵. ۲ تفکیک دادهی کروماتوگرافی چهارجزئی فرضی توسط روش MCR-ALS
۳. ۲ تفکیک دادههای آزمایشگاهی
۳. ۲. ۱ تفکیک دادهی آزمایشگاهی حاصل از سیستم کروماتوگرافی سه جزئی
۳. ۲. ۱. ۱ تفکیک دادهی آزمایشگاهی حاصل از سیستم کروماتوگرافی سه جزئی توسط روش RFA با استفاده از
99CPSO
۳. ۱. ۱ تفکیک دادهی آزمایشگاهی حاصل از سیستم کروماتوگرافی سه جزئی توسط روش MCR-ALS
1.1
۲. ۲. ۲ تفکیک دادهی سر هم زدهی آزمایشگاهی حاصل از سیستم کروماتوگرافی سه جزئی
۲. ۲. ۲. ا تفکیک داده ی سر هم زده ی آزمایشگاهی حاصل از سیستم کروماتوگرافی سه جزئی توسط روش RFA با
ستفاده از CPSO
۳. ۲. ۲. ۲ تفکیک داده ی سر هم زده ی آزمایشگاهی حاصل از سیستم کروماتوگرافی سه جزئی توسط روش
N·VMCR-ALS
۳. ۲. ۳ تفکیک دادهی آزمایشگاهی حاصل از سیستم تعادلی اسید سه پروتونهی فلورستین سه جزئی
۳. ۲. تفکیک دادهی آزمایشگاهی چهار جزئی حاصل از سیستم تعادلی اسید سه پروتونهی فلورستین سه جزئی
نوسط روش RFA با استفاده از CPSO
۲. ۲. ۳. ۲ تفکیک دادهی آزمایشگاهی چهار جزئی حاصل از سیستم تعادلی اسید سه پروتونهی فلورستین سه جزئی
نوسط روش MCR-ALS
۳. ۷نتیجه گیری
٨١٤

شماره صفحه	فهرست شكل
	شكل ١-١: نمودار الگوريتم نيوتن –گوس
وش PSO که ذرات با دایره نمایش داده شدهاند،	شکل ۱-۲: نمایش شماتیکی از فضای جستجوی دو بعدی برای ر
ابجایی تا فاکتورهای $p_{best}$ و $g_{best}$ نشان می۔	فلشها بردارهای سرعت و مکان ذره و همچنین بردارهای ج
14	دهند
۲٠	شکل ۱–۳: نمودار الگوریتم روش بهینهسازی جمعیت ذرات
Y٣	شکل ۱-٤: رفتار آشوبناک متغیر آشوبناک ( $\mathbf{x}$ = ۰/۱ ) در ۳۰۰ تکرار
شده $(//\cdot = x)$ س و $(//\cdot = x)$ شده شده	شکل ۱-٤: رفتار آشوبناک، دو متغیر آشوبناک در ٥٠ تکرار مقایسه
و متغیر آشوبناک بعد از تکرار دهم رفتار متفاوتی	این شکل نمایشی از وابستگی به شرایط اولیه رفتار آشوبناک است، د
٢٣	پیدا کرده اند
هی فرضی کروماتوگرافی دو جزئی دارای ابهام	شکل ۳–۱: نمایش پروفایلهای غلظتی مشابهسازی شده برای داد
Ψ٤	چرخشی (گونهی اول، گونهی دوم)
،ی فرضی کروماتوگرافی دو جزئی دارای ابهام	شکل ۳–۲: نمایش پروفایلهای طی <i>فی</i> مشابهسازی شده برای داد.
٣٥	چرخشی (گونهی اول، گونهی دوم)
ی دو جزئی که برای آن حل منحصر به فرد وجود	شکل ۳-۳: داده ی جذبی ساختگی برای سیستم فرضی کروماتوگرافی
٣٥	ندار د
فرضی کروماتوگرافی دو جزئی که برای آن حل	شکل ۳-٤: نمایش (۱)- سطح، (۲)- سطح تراز مربوط به دادهی
٣٦	منحصربه فرد وجود ندارد
وگرافی دو جزئی دارای ابهام چرخشی توسط	شکل ۳–۵: منحنی تغییرات (log(ssq در مراحل تفکیک دادهی کرومات
٣٨	روش RFA برحسب مراحل روش RFA
دو جزئی دارای ابهام چرخشی توسط روش	شکل ۳–٦: نمایش گرافیکی مرحلهی ۱ تفکیک دادهی کروماتوگرافی
mp=• .conv_crit ( ssq=1 ≥99, 74, 1972 )	RFA روی (۱)– سطح، (۲)– سطح تراز نگاشت خطای این داده (۱=
دو جزئىي داراي ابهام چرخىشى توسىط روش	شکل ۳–۷: نمایش گرافیکی مرحلهی ۲ تفکیک دادهی کروماتوگرافی
79(ssq=٣١٩٤٩ .mp=+ .conv_crit=+/ν	RFA روی (۱)– سطح، (۲)– سطح تراز نگاشت خطای این داده (۸٦
دو جزئی دارای ابهام چرخشی توسط روش	شکل ۳–۸: نمایش گرافیکی مرحلهی ۳ تفکیک دادهی کروماتوگرافی
~9(ssq=¬·)~ mp=· .conv_crit=·//	RFA روی (۱)– سطح، (۲)– سطح تراز نگاشت خطای این داده (۱۱
دو جزئی دارای ابهام چرخشی توسط روش	شکل ۳–۹: نمایش گرافیکی مرحلهی ٤ تفکیک دادهی کروماتوگرافی
٤٠(ssq=٨٦٧ ،mp=٠ ،conv_crit=٠/٨	RFA روی (۱)– سطح، (۲)– سطح تراز نگاشت خطای این داده (۵۵
<i>ی دو جزئی دارای ابهام چرخـشی توسـط روش</i>	شکل ۳-۱: نمایش گرافیکی مرحلهی ٥ تفکیک دادهی کروماتوگرافی
٤٠(ssq=٤٤ ،mp=٠ ،conv_crit=٠/٩	RFA روی (۱)– سطح، (۲)– سطح تراز نگاشت خطای این داده (۴۹
ی دو جزئی دارای ابهام چرخـشی توسـط روش	شکل ۳-۱۱: نمایش گرافیکی مرحلهی ٦ تفکیک دادهی کروماتوگرافی
د ·(ssq=۱۸ ،mp=۰ ،conv_crit=۰/۵۰	RFA روی (۱)– سطح، (۲)– سطح تراز، نگاشت خطای این داده (۰/

شکل ۳–۱۲: نمایش گرافیکی مرحلهی ۷ تفکیک دادهی کروماتوگرافی دو جزئی دارای ابهام چرخشی توسط روش RFA روی (۱)− سطح، (۲)− سطح تراز، نگاشت خطای این داده (۲۲۲/conv\_crit=۰/۲۲۲) RFA (ssq=۱٤) شکل ۳–۱۳: نمایش گرافیکی مرحلهی ۸ تفکیک دادهی کروماتوگرافی دو جزئی دارای ابهام چرخشی توسط روش mp=۰ ،conv\_crit=٠/٣٣٨) وي (۱)- سطح، (۲)- سطح تراز، نگاشت خطای اين داده (۳۳۸) RFA  $\xi$ \....(ssq=9/V) شکل ۳–۱٤: نمایش گرافیکی مرحلهی ۹ تفکیک دادهی کروماتوگرافی دو جزئی دارای ابهام چرخـشی توسـط روش RFA روی (۱)– سطح، (۲)– سطح تراز نگاشت خطای این داده (۱۹-«ssq=۲/۸۲ ،mp=، ،conv\_crit=،/۷۰۹)..... شکل ۳–۱۵: نمایش گرافیکی مرحلهی ۱۰ تفکیک دادهی کروماتوگرافی دو جزئی دارای ابهام چرخشی توسط روش RFA روی (۱) – سطح، (۲) – سطح تراز نگاشت خطای این داده (۱۵ میری (۲) به ssq=۰/۵۷۷ ،mp=۰ ،conv\_crit=۰/۷۹۵) ..... شکل ۳–۱۹ نمایش گرافیکی مرحلهی ۱۱ تفکیک دادهی کروماتوگرافی دو جزئی دارای ابهام چرخشی توسط روش RFA روی (۱)– سطح، (۲)– سطح تراز نگاشت خطای این داده (۱۲۳-ssq=۰/۱۳۳ ،mp=۰ ،conv\_crit=۰/۷٦۹) ...... شکل ۳–۱۷: نمایش گرافیکی مرحلهی ۱۲ تفکیک دادهی کروماتوگرافی دو جزئی دارای ابهام چرخشی توسط روش RFA روی (۱)– سطح، (۲)– سطح تراز نگاشت خطای این داده (۱۲۰۰–۲۹۰۰، ssq=۰/۰٤٥، mp=۰، conv\_crit=۰/۱۲۰)..... شکل ۳–۱۸: نمایش گرافیکی مرحلهی ۱۳ تفکیک دادهی کروماتوگرافی دو جزئی دارای ابهام چرخشی توسط روش RFA روی (۱) – سطح، (۲) – سطح تراز نگاشت خطای این داده (ssq=٠/٣٠٢ ،mp=٠ ،conv\_crit=٠/٣٣) ..... شکل ۳–۱۹: نمایش گرافیکی مرحلهی ۱۶ تفکیک دادهی کروماتوگرافی دو جزئی دارای ابهام چرخشی توسط روش RFA روی (۱)– سطح، (۲)– سطح تراز نگاشت خطای این داده (ssq=٠/٠٢٧٦ ،mp=٠ ،conv\_crit=٠/٠٨٣)..... شکل ۳-۲۰: نمایش گرافیکی مرحلهی ۱۵ تفکیک دادهی کروماتوگرافی دو جزئی دارای ابهام چرخشی توسط روش RFA روی (۱)- سطح، (۲)- سطح تراز نگاشت خطای این داده (۱۳-۰/۱۳)، ssq=۰/۰۲۷۳ های سطح، (۲)- سطح تراز نگاشت خطای این داده شکل ۲۱-۳ نمایش گرافیکی مرحلهی ۱٦ تفکیک دادهی کروماتوگرافی دو جزئی دارای ابهام چرخشی توسط روش RFA روی (۱)- سطح، (۲)- سطح تراز نگاشت خطای این داده (ssq=٠/٠٢٧١ ،mp=٠ ،conv\_crit=٠/٠٠٤)..... شکل ۳–۲۲: نمایش گرافیکی مرحلهی ۱۷ تفکیک دادهی کروماتوگرافی دو جزئی دارای ابهام چرخشی توسط روش RFA روی (۱)- سطح، (۲)- سطح تراز نگاشت خطای این داده (۱۱/۱۰۶-۱۲۸۲ ssq=۱/٦٨٧ ،mp=۰ ،conv\_crit=-۱/۱۸۷ وی شکل ۳–۲۳: نمایش گرافیکی مرحلهی ۱۸ تفکیک دادهی کروماتوگرافی دو جزئی دارای ابهام چرخشی توسط روش RFA روی (۱)– سطح، (۲)– سطح تراز نگاشت خطای این داده (ssq=٠/٠٢٧١ ،mp=۱ ،conv\_crit=١/٠٥٤) ........... 33 شکل ۳–۲٤: نمایش گرافیکی مرحلهی ۱۹ تفکیک دادهی کروماتوگرافی دو جزئی دارای ابهام چرخشی توسط روش RFA روی (۱)– سطح، (۲)– سطح تراز نگاشت خطای این داده (۱۱/۱۰۶–۲۱/۱۰۶، ssq=۱/٦٨٧،mp=۰، conv\_crit=-۱/۱۸۷)..... شکل۳–۲۵: نمایش گرافیکی مرحلهی ۲۰ تفکیک دادهی کروماتوگرافی دو جزئی دارای ابهام چرخـشی توسـط روش RFA روی (۱)– سطح، (۲)– سطح تراز نگاشت خطای این داده (۱/۰۵۱) ssq=۰/۰۲۷۱ ،mp=۱ ،conv\_crit=۱/۰۵۱) .............. شکل ۳–۲3: نمایش گرافیکی مرحلهی ۲۱ تفکیک دادهی کروماتوگرافی دو جزئی دارای ابهام چرخشی توسط روش RFA روی (۱)- سطح، (۲)- سطح تراز نگاشت خطای این داده (۱/۱۰۶-ssq=۱/۱۸۷ ه. ssq=۱/۱۸۷ ه. شکل ۳-۲۷: پروفایلهای غلظتی ساختگی برای دادهی فرضی کروماتوگرافی دو جزئی که دارای حل منحصر بــه فــرد است (گونهی اول\_\_\_، گونهی دوم \_ \_ \_).....

سکل ۳–۲٪ پروفایلهای طیفی ساختگی برای دادهی فرضی کروماتوگرافی دو جزئی که دارای حــل منحــصر بــه فــرد
ست. (گونهی اول, گونهی دوم)
سکل ۳-۲۹: دادهی جذبی ساختگی بـرای دادهی فرضـی کروماتوگرافی دو جزئـی کـه دارای حـل منحـصر بـه فـرد
ست
سکل ۳۰-۳: نمایش (۱)- سطح، (۲)- سطح تراز مربوط به دادهی فرضی کروماتوگرافی دو جزئی که برای آن حل به
رد وجود دارد
سکل ۳۳-۳: منحنی تغییرات (log(ssq) در تفکیک داده ی کروماتوگرافی دو جزئی دارای حل منحصر بــه فــرد توســط
وش RFA برحسب مراحل روش RFA
سکل ۳۳-۳٪ نمایش گرافیکی مرحلهی ۱ تفکیک دادهی کروماتوگرافی دو جزئی دارای حـل منحـصر بــه فــرد توســط
وش RFA روی (۱)- سطح، (۲)- سطح تراز نگاشت خطای این داده (۱۱۹۹۸ ،mp=۰، ،conv_crit=۱) ۵۰
سکل ۳۳-۳ نمایش گرافیکی مرحلهی ۲ تفکیک دادهی کروماتوگرافی دو جزئی دارای حــل منحـصر بــه فــرد توســط
وی RFA روی (۱)− سطح، (۲)− سطح تراز نگاشت خطای این داده (ssq=۲۵۷٤ ،mp=۰ ،conv_crit=۰/۷۸۵) ۵۰
سکل ۳۳-۳٪ نمایش گرافیکی مرحلهی ۳ تفکیک دادهی کروماتوگرافی دو جزئی دارای حـل منحـصر بـه فـرد توسـط
وش RFA روی (۱)- سطح، (۲)- سطح تراز نگاشت خطای این داده ( conv_crit=۰/۸۱، sq=٤٧٨، mp=۰، conv_crit=٠/۸۱)
سکل ۳۵-۳: نمایش گرافیکی مرحلهی ٤ تفکیک دادهی کروماتوگرافی دو جزئی دارای حـل منحـصر بــه فــرد توســط
وش RFA روی (۱)- سطح، (۲)- سطح تراز نگاشت خطای این داده (۸۲-conv_crit ، ۳۳-۱ ، ssq=٦٤/۰۳ ،mp=۰ ، conv_crit )
سکل ۳۳-۳۱: نمایش گرافیکی مرحلهی ٥ تفکیک دادهی کروماتوگرافی دو جزئی دارای حـل منحـصر بــه فــرد توســط
وش RFA روی (۱)- سطح، (۲)- سطح تراز نگاشت خطای این داده (conv_crit=•/۹٤)، ssq=۳/٤٥ (۲)- سطح، (۲)- سطح
سکل ۳-۳۷: نمایش گرافیکی مرحلهی ٦ تفکیک دادهی کروماتوگرافی دو جزئی دارای حـل منحـصر بــه فــرد توســط
وش RFA روی (۱)- سطح، (۲)- سطح تراز نگاشت خطای این داده (conv_crit=۰/۹۷، ه.mp=۰ ،۰۸۰۲ ،mp=۰ ،conv_crit
سکل ۳-۳٪ نمایش گرافیکی مرحلهی ۷ تفکیک دادهی کروماتوگرافی دو جزئی دارای حـل منحـصر بــه فــرد توســط
وش RFA روی (۱)− سطح، (۲)− سطح تراز نگاشت خطای این داده (۲۳-conv_crit ، ۲۹۳ ،mp ، ۳۹۳ ،mp ، ۳۹۳ )
سکل ۳۳-۳: نمایش گرافیکی مرحلهی ۸ تفکیک دادهی کروماتوگرافی دو جزئی دارای حـل منحـصر بــه فــرد توســط
وش RFA روی (۱)- سطح، (۲)- سطح تراز نگاشت خطای این داده (۲۱-۰-ssq-۰/۰۲۸ ،mp، ۲۸ ،mp، ۱۳۵۰) ۵۲
سکل ۳-۲: نمایش گرافیکی مرحلهی ۹ تفکیک دادهی کروماتوگرافی دو جزئی دارای حـل منحـصر بـه فـرد توسـط
RFA روی (۱)- سطح، (۲)- سطح تراز، نگاشت خطای این داده (۱۰-۲۱×conv_crit=۲/۷۸٪ ،mp=۰ ،conv_crit=۲/۷۸٪ ،mp
سکل ۳-۱٪ پروفایلهای نرمال غلظتی دادهی کروماتوگرافی دو جزئی دارای حل منحصر به فرد، پروفایــلهــای
حاصل از تفکیک این داده توسط روش RFA پروفایلهای مشابهسازی شده
سکل ۳-۶۲: پروفایلهای نرمال طیفی دادهی کروماتوگرافی دو جزئی دارای حل منحصر به فـرد، پروفایــلهــای
حاصل از تفکیک این داده توسط روش RFA پروفایلهای مشابهسازی شده
سكل ۳–۶۲: نمايش گرافيكي اولين مرحلهي الگوريتم CPSO (مرحلهي ۱ از تكرار الگوريتم PSO) درتفكيـک دادهي
ئروماتوگرافی دو جزئی دارای ابهام چرخشی توسط روش RFA با استفاده از CPSO روی (۱)– سطح، (۲)– سطح تراز
گاشت خطای این داده

نمكل ۳-٤٤: نمايش گرافيكي اولين مرحله ي الگوريتم CPSO ( مرحله ي ۲ از تكرار الگوريتم PSO) در تفكيــک داده ي
ئروماتوگرافی دو جزئی دارای ابهام چرخشی توسط روش RFA با استفاده از CPSO روی (۱)– سطح، (۲)– سطح تراز
گاشت خطای این داده
نمكل ۳-2: نمايش گرافيكي اولين مرحلهي الگوريتم CPSO ( مرحلهي ۳ از تكرار الگوريتم PSO) در تفكيك سيستم
کروماتوگرافی دو جزئی دارای ابهام چرخشی توسط روش RFA با استفاده از CPSO روی (۱)– سطح، (۲)– سطح تراز
گاشت خطای این داده
نكل ۳–2: نمایش گرافیكی اولین مرحلـه ی الگـوریتم CPSO ( مرحلـه ی ٤ از تكـرار الگـوریتم PSO) تفکیـک داده
کروماتوگرافی دو جزئی دارای ابهام چرخشی توسط روش RFA با استفاده از CPSO روی (۱)– سطح، (۲)– سطح تراز
گاشت خطای این داده
شکل ۳–۶۷: نمایش گرافیکی اولین مرحلـهی الگـوریتم CPSO ( مرحلـهی ٥ از تکـرار الگـوریتم PSO) تفکیـک داده
کروماتوگرافی دو جزئی دارای ابهام چرخشی توسط روش RFA با استفاده از CPSO روی (۱)– سطح، (۲)– سطح تراز
گاشت خطای این داده
نمكل ۳-۶۵: نمایش گرافیكی اولین مرحله ی الگوریتم CPSO ( مرحله ی ٦ از تكرار الگوریتم PSO) تفكیک داده
کروماتوگرافی دو جزئی دارای ابهام چرخشی توسط روش RFA بـا اسـتفاده از CPSO روی (۱)– سـطح، (۲)– سـطح
راز نگاشت خطای این داده
لمکل ۳-۶۹: پروفایلهای نرمال غلظتی دادهی کروماتوگرافی دو جزئی دارای ابهام چرخشی، پروفایلهای
حاصل از تفکیک این داده توسط روش RFA با استفاده از CPSO، پروفایلهای مشابهسازی شده ٦٤
نکل ۳-۰: پروفایلهای نرمال طیفی دادهی کروماتوگرافی دو جزئی دارای ابهام چرخشی، پروفایلهای حاصـل
ز تفکیک این داده توسط روش RFA با استفاده از CPSO، پروفایلهای مشابهسازی شده
نکل ۳-۵۱: نمایش پروفایلهای غلظتی مشابهسازی شده برای دادهی فرضی کروماتوگرافی سه جزئسی، (گونـهی اول
، گونهی دوم، گونهی سوم)
سکل ۳–۵۲: نمایش پروفایلهای طیفی مشابهسازی شده برای دادهی فرضی کروماتوگرافی ســه جزئــی، (گونــهی اول
، گونهی دوم، گونهی سوم)
نکل ۳-۵۳: نمایش دادهی جذبی ساختگی سیستم کروماتوگرافی سه جزئی، حاوی نویز با انحراف استاندارد
./
نکل ۳–۵٤: نمایش (۱) پروفایلهای غلظتی، (۲) طیفی تفکیک شده از دادهی کروماتوگرافی سه جزئی، حاوی نویز با
نحراف استاندارد ۰/۰۰۰۱ توسط روش RFA با استفاده از CPSO (گونهی اول گونهی دوم ، گونهی سوم
V·(
شکل ۳-۵۵: نمایش پروفایلهای نرمال (۱) غلظتی، (۲) طیفی دادهی کروماتوگرافی سه جزئی، حاوی نویز با انحراف
ستاندارد ۰/۰۰۰۱ (پروفایلهای تفکیک شده توسط روش RFA با استفاده از CPSO، پروفایلهای مـشابهسازی
نىدە)
نمکل ۳–٥٦: نمایش دادهی جذبی ساختگی سیستم کروماتوگرافی سه جزئی، حاوی نویز با انحراف استاندارد
· · · · · · · · · · · · · · · · · · ·

شکل ۳–۰۵: نمایش (۱) پروفایلهای غلظتی، (۲) طیفی تفکیک شده از دادهی کروماتوگرافی سه جزئی، حاوی نویز با
انحراف استاندارد ۰/۰۰۰۵ توسط روش RFA با استفاده از CPSO (گونهی اول، گونهی دوم، گونهی سوم
V7
شکل ۳–۵۸: نمایش پروفایلهای نرمال (۱) غلظتی، (۲) طیفی داده ی کروماتوگرافی سه جزئی، حاوی نویز با انحـراف
استاندارد ۰/۰۰۰۵ (پروفایلهای تفکیک شده توسط روش RFA با استفاده از CPSO، پروفایلهای مـشابهســـازی
شده)
شکل ۳-٥٩: نمایش داده ی جذبی ساختگی سیستم کروماتوگرافی سه جزئی، حاوی نویز با انحراف استاندارد
VT
شکل ۳–۲۰: نمایش (۱) پروفایلهای غلظتی، (۲) طیفی تفکیک شده از دادهی کروماتوگرافی سه جزئی، حاوی نویز با
انحراف استاندارد ۰/۰۰۱ توسط روش RFA با استفاده از CPSO (گونهی اول، گونهی دوم، گونهی سوم
V£
شکل ۳-۱7: نمایش پروفایلهای نرمال (۱) غلظتی، (۲) طیفی داده ی کروماتوگرافی سه جزئی، حاوی نویز با انحراف
استاندارد ۰/۰۰۱ (پروفایلهای تفکیک شده توسط روش RFA با استفاده از CPSO، پروفایلهای مشابه سازی
شده)
شکل ۳–۲۲: نمایش (۱) پروفایلهای غلظتی، (۲) طیفی تفکیک شده از دادهی کروماتوگرافی سه جزئی، حاوی نویز با
انحراف استاندارد ۰/۰۰۱ توسط روش MCR-ALS (گونهی اول، گونهی دوم، گونهی سوم
Vo(_
شکل ۳–۱۳: نمایش پروفایلهای نرمال (۱) غلظتی، (۲) طیفی دادهی کروماتوگرافی سه جزئی، حاوی نویز با انحراف
استاندارد ۰٬۰۰۱ (پروفایلهای تفکیک شده توسط روش MCR-ALS، پروفایلهای مشابهسازی شده) ۷۵
شکل ۳-۱۶: نمایش داده ی جذبی ساختگی سیستم کروماتوگرافی سه جزئی حاوی نویز با انحراف استاندارد
V7
شکل ۳–70: نمایش (۱) پروفایلهای غلظتی، (۲) طیفی تفکیک شده از دادهی کروماتوگرافی سه جزئی، حاوی نویز با
انحراف استاندارد ۰/۰۰۵ توسط روش RFA با استفاده از CPSO (گونهی اول, گونهی دوم, گونـهی سـوم
VV
شکل ۳–٦٦: نمایش پروفایلهای نرمال (۱) غلظتی، (۲) طیفی دادهی کروماتوگرافی سه جزئی، حاوی نویز با انحراف
استاندارد ۰/۰۰۵ (پروفایلهای تفکیک شده توسط روش RFA با استفاده از CPSO، پروفایـلهـای مـشابهسـازی
شده)
شکل ۳-۱۷: نمایش داده ی جذبی ساختگی سیستم کروماتوگرافی سه جزئی حاوی نویز با انحراف استاندارد
VA
شکل ۳–٦٨: نمایش (۱) پروفایلهای غلظتی، (۲) طیفی تفکیک شده از دادهی کروماتوگرافی سه جزئی، حاوی نــویز
با انحراف استاندارد ۰/۰۱ توسط روش RFA با استفاده از CPSO (گونهی اول، گونهی دوم، گونهی سوم
/

شکل ۳–79: نمایش پروفایلهای نرمال (۱) غلظتی، (۲) طیفی دادهی کروماتوگرافی سه جزئی، حاوی نویز با انحـراف
استاندارد ۰/۰۱ (پروفایلهای تفکیک شده توسط روش RFA با استفاده از CPSO، پروفایلهای مشابهسازی شــده
V9(
شکل ۳-۷۰: نمایش دادهی جذبی ساختگی سیستم کروماتوگرافی سه جزئی، حاوی نویز با انحراف استاندارد
۸٠
شکل ۳-۷۱: نمایش (۱) پروفایلهای غلظتی، (۲) طیفی تفکیک شده از دادهی کروماتوگرافی سه جزئی، حاوی نویز با
انحراف استاندارد ۰/۰۵ توسط روش RFA با استفاده از CPSO
شکل ۳–۷۲: نمایش پروفایلهای نرمال (۱) غلظتی، (۲) طیفی دادهی کروماتوگرافی سه جزئی، حاوی نویز با انحــراف
استاندارد ۰/۰۵ (پروفایلهای تفکیک شده توسط روش RFA با استفاده از CPSO,پروفایلهای مـشابهســازی شــده
۸١
شکل ۳−۳٪ پروفایلهای غلظتی مدل شده برای واکنش سینتیکی متوالی، A → B → C ، B ، A B
شکل۳–۷٤: پروفایلهای طیفی مدل شده برای واکنش سینتیکی متـوالی، A → B → C , B , , B
۸۳
شکل $^{-9}$ نمایش داده ی جذبی ساختگی برای واکنش سینتیکی متوالی، $A \to B \to C$ حاوی نویز با انحراف استاندارد
۸۳
شکل $^{2}$ – $^{2}$ : (۱) پروفایلهای غلظتی، (۲) طیفی تفکیک شده از داده ی سینتیکی متوالی، $^{2}$ $^{2}$ $^{3}$ توسط روش
RFA با استفاده از CPSO (A B A) CPSO با استفاده از PFA
شکل $^{-7}$ نمایش پروفایلهای نرمال (۱) غلظتی، (۲) طیفی داده ی سینتیکی متـوالی، $A \to B \to C$ (پروفایـلهـای
تفکیک شده توسط روش RFA با استفاده از CPSO، پروفایلهای مشابهسازی شده)
شکل $^{-4}$ (۱) پروفایل های غلظتی، (۲) طیفی تفکیک شده از داده ی سینتیکی متـوالی، $A \to B \to C$ توسـط روش
Λ٦ ( C B A) MCR-ALS
شکل $^{-9}$ نمایش پروفایلهای نرمال (۱) غلظتی، (۲) طیفی داده ی سینتیکی متـوالی، $A \to B \to C$ (پروفایـل هـای
تفکیک شده توسط روش MCR-ALS, پروفایلهای مشابهسازی شده)
شکل ۳-۸۰: نمایش پروفایلهای غلظتی سر هم زده شدهی دادههای فرضی کروماتوگرافی سـه جزئـی، (گونـهی اول
، گونهى دوم ، گونهى سوم )
شکل ۳–۸۱: نمایش دومین دادهی جذبی کروماتوگرافی سه جزئی، حاوی نویز با انحراف استاندارد ۰/۰۰۱۸۸
شکل ۳-۸۲٪ نمایش دادهی سر هم زده شدهی دادههای فرضی کروماتوگرافی سمه جزئی، حاوی نمویز با انحراف
استاندارد ۰/۰۰۱
شکل ۳–۸۳٪ نمایش (۱) پروفایلهای غلظتی، (۲) طیفی تفکیک شده از دادهی سر هم زدهی کروماتوگرافی دارای ســه
جز، با نویزی با انحراف استاندارد ۰/۰۰۱ توسط روش RFA با استفاده از CPSO (گونــهی اول، گونــهی دوم
_، گونهی سوم

شکل ۳–۸٤: نمایش پروفایلهای نرمال (۱) غلظتی، (۲) طیفی دادهی سر هم زدهی کروماتوگرافی سه جزئسی، حــاوی
نویز با انحراف استاندارد ۰/۰۰۱ (پروفایلهای تفکیک شده توسط روش RFA با استفاده از CPSO، پروفایــلـهـــای
مشابه سازی شده)
شکل ۳–۸۵: نمایش (۱) پروفایلهای غلظتی، (۲) طیفی تفکیک شده از دادهی سر هم زدهی کروماتوگرافی سه جزئی،
حاوی نویز با انحراف استاندارد ۰/۰۰۱ توسط روش MCR-ALS (گونهی اول, گونهی دوم, گونهی سـوم
41
شکل ۳–۸3 نمایش پروفایلهای نرمال (۱) غلظتی، (۲) طیفی دادهی سر هم زدهی کروماتوگرافی سه جزئـی، حـاوی
نویز با انحراف استاندارد ۰/۰۰۱ (پروفایلهای تفکیک شده توسط روش MCR-ALS، پروفایلهای مـشابهسـازی
شده)
شکل ۳-۸۷: نمایش پروفایلهای غلظتی مشابهسازی شده برای سیستم فرضی کرومـاتوگرافی چهـار جزئـی، (گونـهـی
اول، گونهى دوم، گونهى سوم، گونهى چهارم)
شکل ۳-۸۸: نمایش پروفایلهای طیفی مشابهسازی شده برای سیستم فرضی کروماتوگرافی چهار جزئی، (گونـهی اول
، گونهی دوم، گونهی سوم، گونهی چهارم)
شکل ۳-۸۹: نمایش دادهی جذبی ساختگی سیستم کروماتوگرافی چهار جزئی، حاوی نـویز بـا انحـراف اسـتاندارد
٠/٠٠١
شکل ۳-۹۰: نمایش (۱) پروفایلهای غلظتی، (۲) طیفی تفکیک شده از دادهی کروماتوگرافی چهار جزئی، توسط
روش RFA با استفاده از CPSO (گونه ی اول، گونه ی دوم، گونهی سوم، گونهی
چهارم)
شکل ۳–۹۱: نمایش پروفایلهای نرمال (۱) غلظتی، (۲) طیفی دادهی کروماتوگرافی چهارجزئی، (پروفایلهای تفکیک
شده توسط روش RFA با استفاده از CPSO، پروفایلهای مشابهسازی شده)
شکل ۳–۹۲: نمایش (۱) پروفایلهای غلظتی، (۲) طیفی تفکیک شده از دادهی کرومـاتوگرافی چهـار جزئـی توسـط
روش MCR-ALS (گونهی اول, گونهی دوم, گونهی سوم, گونهی چهارم)
شکل ۳–۹۳: نمایش پروفایلهای نرمال (۱) غلظتی، (۲) طیفی دادهی کرومـاتوگرافی چهـار جزئـی، (پروفایــلـهــای
تفکیک شده توسط روش MCR-ALS, پروفایلهای مشابهسازی شده)
شکل۳–۹٤: ترسیم دادهی آزمایشگاهی حاصل از سیستم کروماتوگرافی سه جزئـی (فنیتروتیـون، آزینوفـوس-اتیـل و
مزاحم)
شکل۳-۹۵: طیفهای دو گونمهی معلموم در دادهی آزمایـشگاهی حاصـل از سیستم کرومـاتوگرافی سمه جزئمی،
(فنيتروتيون، آزينوفوس-اتيل)
شکل ۳-۹۲: نمایش (۱) پروفایلهای غلظتی، (۲) طیفی متناظر تفکیک شده از دادهی آزمایشگاهی حاصل از سیستم
کروماتوگرافی سه جزئی توسط روش RFA با استفاده از CPSO (فنیتروتیون، آزینوفوس–اتیل، مـزاحم _
· · ·
شکل ۳-۹۷: نمایش پروفایلهای نرمال (۱) غلظتی، (۲) طیفی تفکیک شده از دادهی آزمایـشگاهی حاصـل از سیـستم
كروماتوگرافى سه جزئى توسط روش RFA با استفاده از CPSO (فنيتروتيون، آزينوفوس–اتيل، مـزاحم
1

نکل ۳–۹۸: نمایش پروفایــل.هــای (۱) غلظتــی، (۲) طیفــی تفکیــک شــده از دادهی آزمایــشگاهی حاصــل از سیــستم
ئروماتوگرافی سه جزئی توسط روش RFA با استفاده از CPSO با اعمال طیف معلوم (فنیتروتیــون، آزینوفــوس–
تيل، مزاحم
سکل ۳-۹۹: نمایش پروفایلهای (۱) غلظتی، (۲) طیفی دادهی آزمایـشگاهی حاصـل از سیـستم کرومـاتوگرافی سـه
جزئی توسط روش MCR-ALS (فنیتروتیون، آزینوفوس – اتیل، مزاحم )
نکل ۳-۱۰۰: نمایش پروفایلهای نرمال (۱) غلظتی، (۲) طیفی تفکیک شده از دادهی آزمایشگاهی حاصل از سیستم
کروماتوگرافی سه جزئی توسط روش MCR-ALS (فنیتروتیون، آزینوفوس–اتیل، مزاحم
نکل ۳-۱۰۱: ترسیم اولین دادهی آزمایشگاهی حاصل از سیستم کروماتوگرافی سه جزئی (دی آزینون، پاراتیون-اتیل
ر مزاحم)
سکل ۳-۱۰۲: ترسیم دومین دادهی آزمایشگاهی حاصل از سیستم کروماتوگرافی سه جزئمی (دی آزینـون، پـاراتیون-
تيل و مزاحم)
سکل ۳-۱۰۳: طیفهای دو گونهی معلوم در دادهی آزمایشگاهی حاصل از سیستم کروماتوگرافی سه جزئی، (دی
زينون، پاراتيون – اتيل – – –)
سکل۳ - ۱۰۶: ترسیم داده ی جذبی حاصل از سر هم زدن دو داده ی آزمایشگاهی مربوط به سیستم کروماتوگرافی سه
جزئی موجود در شکلهای (۳–۱۰۱) و (۳–۱۰۲) که تفاوت آنها در نسبتهای غلظتی است
لمکل ۳–۱۰۵: نمایش (۱) پروفایلهای غلظتی، (۲) طیفی متناظر تفکیک شــده از دادهی ســر هــم زدهی آزمایــشگاهی
گروماتوگرافی سه جزئی توسط روش RFA بــا اســتفاده از CPSO (دی آزینــون، پــاراتیون – تیــل − − - ، مــزاحم
1.7
نمکل ۳–۱۰۶: نمایش پروفایلهای نرمال (۱) غلظتی، (۲) طیفی تفکیک شده از دادهی ســر هــم زدهی آزمایــشگاهی
کروماتوگرافی سه جزئی توسط روش RFA با استفاده از CPSO (دی آزینــون، پــاراتیون–اتیــل – – – ، مــزاحم
1.7
شکل ۳–۱۰۷: نمایش پروفایلهای نرمال (۱) غلظتی، (۲) طیفی تفکیک شده از دادهی ســر هــم زدهی آزمایــشگاهی
کروماتوگرافی سه جزئی توسط روش RFA با استفاده از CPSO با اعمال طیف معلـوم (دی اَزینـون، پـاراتیون-
تيل ، مزاحم)
نمکل ۳-۱۰۸: نمایش پروفایلهای نرمال (۱) غلظتی، (۲) طیفی تفکیک شده از دادهی سر هم زدهی آزمایـشگاهی
گروماتوگرافی سه جزئی توسط روش MCR-ALS (دی آزینون، پاراتیون–اتیل ، مزاحم)
سکل ۳–۱۰۹: نمایش پروفایلهای نرمال (۱) غلظتی، (۲) طیفی تفکیک شده از دادهی ســر هــم زدهی آزمایــشگاهی
کروماتوگرافی سه جزئی توسط روش MCR-ALS (دی آزینون، پاراتیون–اتیل – – - ، مزاحم)
شکل ۳–۱۱۰: ترسیم دادهی آزمایـشگاهی حاصـل از سیـستم تعـادلی اسـید سـه پروتونـهی فلورسـتین شـامل چهـار
١٠٩(F <sup>٢-</sup> ,FH <sup>-</sup> ,FH <sub>7</sub> ,FH <sub>7</sub> ,FH <sub>7</sub> )
سکل ۳–۱۱۱: نمایش (۱) پروفایلهای غلظتی، (۲) طیفی متناظر تفکیک شده دادهی آزمایـشگاهی حاصـل ازسیـستم
عادلمي اسيد سه پروتونه توسط روش RFA با استفاده از CPSO (*FH <sub>r</sub> ( FH <sub>r</sub> ، o o o FH <sub>r</sub> )

شکل ۳-۱۱۲: نمایش پروفایلهای نرمال (۱) غلظتی، (۲) طیفی تفکیک شده از داده ی آزمایشگاهی حاصل از سیستم تعادلی اسید سه پروتونه توسط روش RFA با استفاده از CPSO  $+_r$  (۲۰ من  $+_r$  (۵ من  $+_r$  (۵ من  $+_r$  (۲۰ من  $+_r$  (

شماره صفحه	فهرست جدول
پارامترهای مراحل تفکیک سیستم فرضی کروماتوگرافی دو جزئی دارای ابهام چرخشی توسط	جدول ۳–۱: نتایج و پ
Γο	روش RFA
پارامترهای مراحل تفکیک سیستم فرضی کروماتوگرافی دو جزئی دارای حل منحصر به فرد	جدول ۳–۲: نتایج و
٥٧	توسط روش RFA
شرایط تفکیک داده های کروماتوگرافی سه جزئی، با انحراف استاندارد نـویز متفـاوت توسـط	جدول(۳-۳): نتایج و
TACPSO;	رو شه RFA با استفاده

### فصل اول

#### مقدمه

#### ١. ١ كمومتريكس [١]

واژه ی کمومتریکس اولین بار در سال ۱۹۷۱ ابداع شد که بیانگر رشد استفاده از مدلهای ریاضی، اصول آماری و سایر روشهای بر پایه منطق در شاخه ی شیمی به ویژه شیمی تجزیه است. یک نظام بین رشته ای که آمار چند متغیره، مدل کردن ریاضی، علم کامپیوتر و شیمی تجزیه را در بر می گیرد. در سالهای اخیر، رشد کمومتریکس حاصل رشد عموم آمار، کامپیوتر و افزایش حجم اطلاعات است. پیشرفت سریع فناوری به طور خاص در سطح دستگاه های کامپیوتری برای شیمی تجزیه باعث رشد چشمگیر شاخه ی کمومتریس طی ٤ دهه ی اخیر شده است. وجود جهان چند متغیره الهام بخشی برای اندازه گیری های چند متغیره به طور همزمان در فرآیندهای تحلیلی است، طوری که در این دوره بیشتر توجه روی روشهای چند متغیره به مشاهده ی یک متغیر تنها ایجاد می کند.

مزایا استفاده از روشهای چند متغیره:

۱- کاهش نویز وقتی متغیرهای وابسته بهطور همزمان بررسی میشوند.

۲- اندازه گیری های گزینش پذیر انجام می شوند و نتایج می تواند بی تأ ثیر از اثرات سیگنال های مزاحم باشد.

۳- نمونههای غلط<sup>۳</sup> به راحتی تشخیص داده میشوند، چرا که رفتاری متفاوت با بقیهی نمونهها خواهند داشت.

در ادامه روشهایی را که به تفکیک دادههای چند متغیره میپردازند، شرح خواهیم داد.

١

<sup>\</sup> Multivariate methods

<sup>&</sup>lt;sup>†</sup> Chemometrics

False samples

#### ۲. ۲ روشهای تفکیک منحنی چند متغیره ایا

اولین بار روشهای تفکیک منحنی [۲ و ۳] در پاسخ نیاز به ابزاری برای تحلیل ماتریس داده چند متغیره [۶ و ۵] حاصل از کار آزمایشگاهی در سیستمهای دینامیکی چند جزئی به وجود آمدند.

همه ی روشهای تفکیک با استفاده از سیگنال کل مخلوطها، تعداد اجزا و سهمهای مربوط به اجزای خالص در سیستم مورد بررسی را تعیین میکنند [٦-١٤]. سیگنال دستگاهی به صورت یک ماتریس سازمان دهی می شود که هر سطر ماتریس اندازه گیری همه ی اجزای حاضر در مخلوط را در بر می گیرد. اساس این روشها تفکیک ماتریس داده به دو یا چند ماتریس دیگر است که با رابطه ی زیر نمایش داده می شود.

(1-1)

$$ns \begin{array}{|c|c|c|c|c|}\hline \textbf{D} = & \textbf{A} \textbf{B}^t + \textbf{R} \\ & n\lambda & nc & n\lambda & & n\lambda \\ \hline \textbf{D} & = & \textbf{A} \times & \textbf{B} & & ns \\ \hline & \textbf{R} & & & & \\ \hline \end{array}$$

nc و ns به ترتیب تعداد متغیرهای سطر و ستون، nc تعداد اجزای شیمیایی موجود در سیستم ns هستند.

 ${\bf D}$  ماتریس داده حاصل از سیگنال دستگاهی (ماتریس داده) و  ${\bf A}$  و  ${\bf B}^t$  شامل سیگنالهای خالص اجزای مخلوط در جهات ستون و سطرهای ماتریس داده ی اولیه میباشد.  ${\bf R}$  ماتریس هم اندازه با ماتریس داده است که ماتریس باقیمانده نام دارد و تغییرات آن مربوط به سهم شیمیایی نمی شود و معمولاً مربوط به نویز دستگاهی است. در مسائل جذبی ماتریسهای  ${\bf A}$  و  ${\bf B}^t$  اغلب نمایانگر پروفایلهای غلظتی و طیفی هستند.

این روشها از ارزش زیادی برای تفکیک سیستمهای پیچیده برخوردارند، به ویژه وقتی که سیگنالهای انتخابی برای گونههای مجزا از نظر آزمایشگاهی ممکن نیست یا خیلی پیچیده و زمانبر است.

چندین روش هدف بالا را میسر می کنند که به عنوان روشهای مدلسازی نرم یا روشهای مستقل از مدل آیا خود مدلسازی شناخته می شوند. مشخصه ی بارز آنها عدم نیاز به مدل شیمیایی جهت تحلیل و تفکیک ماتریس داده هاست.

<sup>\</sup> Multivariate curve resolution methods

<sup>&</sup>lt;sup>†</sup> Soft modeling

<sup>&</sup>quot; Model-free analysis